

## I-A 70 直線はり要素の2次弾性理論としての一離散化展開

法政大学工学部 正会員 阿井 正博 · “ 学生員 田村 健太郎  
埼玉大学大学院政策科学研究科 正会員 西野 文雄

1. はじめに - よく知られている軸力幾何剛性の関係[1]は、軸力状態で線形化された離散化であり、はり-柱理論とは必要十分には対応しない。弾性2次理論としての離散化には、はり-柱理論の常微分基礎式解を用いるもの[例えば3, 5]と、変位補間のもとでの弱形式展開によるもの[例えば2]があるが、これまで後者では、接線剛性が対称にならないなど、整合性の意味で必ずしも十分ではない。ここでは、平面はり要素の弾性2次理論として整合性を保持した一有限要素展開を示す。

2. 運動場 - Bernoulli-Euler の仮定のもとでの弾性2次理論であるはり-柱理論では、その運動場は微小変位理論と同形

$$u(x, y) = u_G(x) - y \frac{dv_G}{dx}, \quad v(x, y) = v_G(x) \quad (1)$$

となるが、生じる軸方向直ひずみは

$$e_{xx}(x, y) = \frac{du_G}{dx} + \frac{1}{2} \left( \frac{dv_G}{dx} \right)^2 - y \frac{d^2 v_G}{dx^2} \quad (2)$$

と表される。ここに、 $\{u_G(x), v_G(x)\}$  は断面重心線の軸方向、たわみ方向変位であり、 $\{x, y\}$  は重心線、断面方向の物体固定座標を表す。要素の節点変位

$$\{\boldsymbol{u}\}_{(e)} = \{(u, v, \theta)_i, (u, v, \theta)_j\} \quad (3)$$

に対して、たわみ変位は、微小変位理論での齐次解を用いて

$$\begin{aligned} v_G(\xi) &= \langle \Phi_v \rangle \{ (v, \theta)_i, (v, \theta)_j \} \\ \langle \Phi_v \rangle &= \left\langle 1 - 3\xi^2 + 2\xi^3, l(\xi - 2\xi^2 + \xi^3), 3\xi^2 - 2\xi^3, l(-\xi^2 + \xi^3) \right\rangle \end{aligned} \quad (4)$$

と線形補間するとき ( $\xi = x/l$ : 基準座標,  $l$ : 初期長さ)、このたわみによって軸線の伸びひずみ  $e_{Gxx}$  が生じないすれば、幾何学的な非線形効果として、軸方向の変位

$$u_G^*(\xi) = -\frac{1}{2} \int_0^x \left( \frac{dv_G}{dx} \right)^2 dx = -\frac{1}{2l} \int_0^\xi \left( \frac{dv_G}{d\xi} \right)^2 d\xi \quad (5)$$

が生じることになる。全長 [0, 1] 区間での縮み量は、式(4)を代入して積分することにより

$$\Delta = \frac{1}{2} \langle (v, \theta)_i, (v, \theta)_j \rangle [A] \left\{ \begin{pmatrix} v \\ \theta \\ v \\ \theta \end{pmatrix}_i \right\}, \quad \text{ただし } [A] = \begin{bmatrix} 6 & 1 & -6 & 1 \\ 5l & 10 & 5l & 10 \\ 2l & -1 & -l & \\ 15 & 10 & 30 & \\ 6 & -1 & & \\ 5l & 10 & & \\ 2l & & & \\ 15 & & & \end{bmatrix} \quad (6)$$

Sym.

として得られる。ここで、逆に、スパン長を  $l$  に保持して曲げ変位させれば、前述の縮み  $\Delta$  の分だけ、軸方向に一様な伸び変位  $\xi\Delta$  が生じて適合条件が満たされることになる(図-1)。これに、両端節点の変位  $\{u_i, u_j\}$  による伸び変位を考慮すれば、はりの軸方向変位とその重心線伸びひずみは

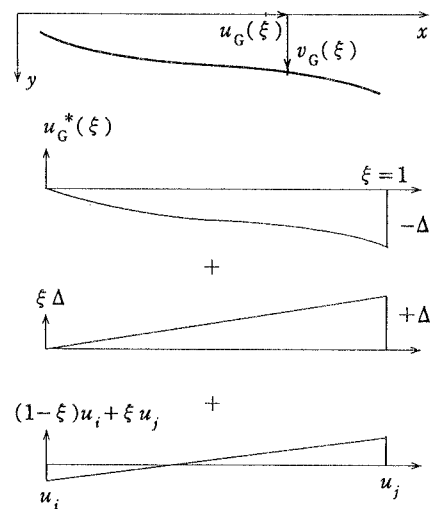


図-1 軸方向変位の分解

$$u_G(\xi) = \langle 1 - \xi, \xi \rangle \begin{Bmatrix} u_i \\ u_j \end{Bmatrix} + u_G^*(\xi) + \xi \Delta \quad (7)$$

$$e_{Gxx} = \frac{1}{l} \{ u_j - u_i + \Delta \} : \text{const.} \quad (8)$$

と表され、 $e_{Gxx}$  は長手方向に一定となる。

3. 剛性関係 - はり要素の両端に  $\{x, y\}$ -方向の力とモーメント  $\{F_x, F_y, M\}$  が作用したときの全ポテンシャル・エネルギー

$$W = \int_0^l \left[ \frac{M^2}{2EI} + \frac{N^2}{2EA} \right] dx - \{F_x u_G + F_y v_G + M \theta\}|_{x=0} - \{F_x u_G + F_y v_G + M \theta\}|_{x=l} \quad (9)$$

の停留条件より得られる節点力-節点変位関係は、以下のようになる：

$$-F_{xi} = F_{xj} = N, \quad \begin{Bmatrix} \begin{pmatrix} F_y \\ M \end{pmatrix}_i \\ \begin{pmatrix} F_y \\ M \end{pmatrix}_j \end{Bmatrix} = ([k_0] + N [\bar{k}_G]) \begin{Bmatrix} \begin{pmatrix} v \\ \theta \end{pmatrix}_i \\ \begin{pmatrix} v \\ \theta \end{pmatrix}_j \end{Bmatrix} \quad (10)$$

ただし、引張軸力  $N$  と初期曲げ剛性  $[k_0]$  は

$$N = \frac{EA}{l} \{ u_j - u_i + \Delta \}, \quad [k_0] = \frac{EI}{l^3} \begin{bmatrix} 12 & 6l & -12 & 6l \\ & 4l^2 & -6l & 2l^2 \\ & & 12 & -6l \\ & & & 4l^2 \end{bmatrix}_{\text{Sym.}} \quad (11)$$

のようく表され、単位引張軸力に対する曲げ幾何剛性  $[\bar{k}_G]$  は、式(6)のマトリックス  $[A]$  に等しい。さらに、前式を節点変位で微分して得られる接線剛性は

$$\begin{aligned} -\delta F_{xi} = \delta F_{xj} &= \frac{EA}{l} (\delta u_j - \delta u_i) + \frac{EA}{l} \{ \psi^*(v, \theta) \} \begin{Bmatrix} \begin{pmatrix} \delta v \\ \delta \theta \end{pmatrix}_i \\ \begin{pmatrix} \delta v \\ \delta \theta \end{pmatrix}_j \end{Bmatrix}, \\ \begin{Bmatrix} \begin{pmatrix} \delta F_y \\ \delta M \end{pmatrix}_i \\ \begin{pmatrix} \delta F_y \\ \delta M \end{pmatrix}_j \end{Bmatrix} &= \left( [k_0] + N [\bar{k}_G] + \frac{EA}{l} \{ \psi^*(v, \theta) \} \{ \psi^*(v, \theta) \} \right) \begin{Bmatrix} \begin{pmatrix} \delta v \\ \delta \theta \end{pmatrix}_i \\ \begin{pmatrix} \delta v \\ \delta \theta \end{pmatrix}_j \end{Bmatrix} \\ &\quad + \frac{EA}{l} \{ \psi^*(v, \theta) \} (\delta u_j - \delta u_i) \end{aligned} \quad (12)$$

ただし、

$$\{ \psi^*(v, \theta) \} = \begin{Bmatrix} \begin{pmatrix} \psi_v^* \\ \psi_\theta^* \end{pmatrix}_i \\ \begin{pmatrix} \psi_v^* \\ \psi_\theta^* \end{pmatrix}_j \end{Bmatrix} = [\bar{k}_G] \begin{Bmatrix} \begin{pmatrix} v \\ \theta \end{pmatrix}_i \\ \begin{pmatrix} v \\ \theta \end{pmatrix}_j \end{Bmatrix} = \begin{Bmatrix} \frac{6}{5l} (v_i - v_j) + \frac{1}{10} (\theta_i + \theta_j) \\ \frac{1}{10} (v_i - v_j) + \frac{l}{30} (4\theta_i - \theta_j) \\ \frac{6}{5l} (v_j - v_i) - \frac{1}{10} (\theta_i + \theta_j) \\ \frac{1}{10} (v_i - v_j) + \frac{l}{30} (4\theta_j - \theta_i) \end{Bmatrix} \quad (13)$$

である。逆に、 $\delta U_{(e)} = (F_x \delta u + F_y \delta v + M \delta \theta)_i + (\dots)_j$  を積分して求まる要素のひずみエネルギーは

$$U_{(e)} = \frac{EA}{2l} (u_j - u_i + \Delta)^2 + \frac{1}{2} \langle (v, \theta)_i, (v, \theta)_j \rangle [k_0] \begin{Bmatrix} \begin{pmatrix} v \\ \theta \end{pmatrix}_i \\ \begin{pmatrix} v \\ \theta \end{pmatrix}_j \end{Bmatrix} \quad (14)$$

となる。以上の剛性関係は、振動法により有限変位微分基礎式を3次項まで解いた結果[4]に、2次項までの範囲で一致する。

<参考文献> 1) Hartz, J. Str. Div., ASCE, Vol.91, No.ST6, Dec., 1965; 2) 前田・林・中村, 土木学会論文報告集, No.223, 1974-3; 3) 後藤・羽根・田中, 土木学会論文報告集, No.238, 1975-6; 4) 阿井・西野, 土木学会論文報告集, No.304, 1980-12; and 5) Goto and Chen, J. Str. Eng., ASCE, Vol.113, No.7, Jul., 1987.